

А.Ф. Курбацкий, Л.И. Курбацкая

## Численное исследование городского острова тепла: верификация эйлеровых моделей атмосферной диффузии

Институт теоретической и прикладной механики СО РАН,  
Новосибирский государственный университет,

Институт вычислительной математики и математической геофизики СО РАН, г. Новосибирск

Поступила в редакцию 20.01.2004 г.

Сформулированы эйлеровы модели дисперсии пассивной примеси: дисперсионная модель высокого порядка замыкания, в которой потоки массы  $\langle u_i c \rangle$  вычисляются из уравнений переноса (DC-модель), и алгебраическая модель турбулентных потоков  $\langle u_i j \rangle$  (AC-модель), полученная упрощением DC-модели до алгебраических выражений в приближении слабо неравновесной турбулентности. Обе модели используют средний ветер и турбулентные величины, вычисляемые с помощью трехпараметрической  $E - \varepsilon - \langle \theta^2 \rangle$ -модели турбулентности атмосферного пограничного слоя. Основные характеристики термогидродинамических полей турбулентного термического факела над городским островом тепла воспроизводятся  $E - \varepsilon - \langle \theta^2 \rangle$ -моделью в хорошем согласии с данными измерений лабораторного масштаба, а также натурными измерениями для интенсивностей турбулентности. Результаты моделирования дисперсии пассивной примеси от поверхностного источника, полученные с помощью DC- и AC-моделей, показывают, что максимальное различие в величине концентрации вблизи источника не превышает 10%, а диффузионные члены в DC-модели, исключаемые при получении AC-модели, действуют слаживающим образом на градиенты потоков. Выполненная верификация указывает на обоснованность использования алгебраической AC-модели в практике моделирования атмосферной дисперсии примесей.

### Введение

Возрастающий интерес к проблеме охраны окружающей среды, климата городов и контроля качества воздуха требует надлежащей точности вычисления уровней концентрации загрязнений в городском атмосферном пограничном слое (ГАПС). При этом метеорологические параметры ГАПС, необходимые для дисперсионных вычислений, сами должны вычисляться с хорошей точностью. Такая точность может быть достигнута при использовании трехпараметрической  $E - \varepsilon - \langle \theta^2 \rangle$  мезомасштабной модели турбулентности ГАПС [1].

Дисперсионные вычисления в приложениях проводятся с помощью различных моделей. Гауссова модель турбулентного термического факела, модифицированная для учета орографии подстилающей поверхности, представляет собой одно из направлений исследований, в основном в работах зарубежных авторов [2, 3]. Существенные отклонения от идеализированных условий вводят ограничения на обоснованность гауссовых моделей, поскольку неопределенности гауссовой модели факела могут оказаться слишком большими. Предполагаемыми условиями могут быть, например, метеорологические ситуации со слабым ветром и устойчивой стратификацией атмосферы, конвективные условия, очень нерегулярная и шероховатая поверхность. Все эти условия встречаются в реальном ГАПС в течение его суточной эволюции.

Второе приближение основано на лагранжевой модели дисперсии большого количества жидких частиц, транспортируемых средним ветром в турбулентных полях, вычисляемых с помощью той или иной атмосферной модели [4, 5]. Имеются примеры использования LES-техники (Large Eddy Simulation techniques) для моделирования поведения пассивных и плавучих факелов в конвективном атмосферном пограничном слое [6–8].

Третье приближение основано на использовании эйлеровой диффузионной модели, первым принципом для которой служит уравнение сохранения массы. Такая модель, замкнутая на уровне моментов второго порядка для поля концентрации, использована, например, в [9] при решении известной задачи о диффузии пассивной примеси от точечных источников в конвективном пограничном слое.

В настоящей работе сформулированы два приближения для моделирования атмосферной диффузии примесей. Первое приближение – дифференциальная эйлерова модель атмосферной диффузии (DC-модель). Эта модель включает прогнозистические уравнения для средней концентрации  $C(x_i, t)$  и моментов второго порядка, потоков  $\langle u_i c \rangle$  и  $\langle c \theta \rangle$ . Второе приближение – алгебраическая эйлерова модель атмосферной диффузии – включает анизотропные выражения для вектора турбулентного потока пассивной примеси  $\langle u_i c \rangle$ , в которых эффект плавучести на турбулентный перенос примеси учитывается в точном виде. Модель выводится из дифференци-

ального уравнения переноса для потоков  $\langle u_i c \rangle$  в приближении слаборавновесной турбулентности точно так же, как это делается [1, 10] при выводе аналогичных выражений для вектора турбулентного потока активного скаляра (тепла),  $\langle u_i \theta \rangle$ .

Основные метеорологические параметры (средний ветер, турбулентные величины), необходимые для реализации обеих моделей атмосферной диффузии, вычисляются с помощью разработанной ранее трехпараметрической  $E - \varepsilon - \langle \theta^2 \rangle$  мезомасштабной модели ГАПС. Отметим, что эффекты термической стратификации при формировании крупномасштабной циркуляции над городским островом тепла воспроизводятся с помощью трехпараметрической мезомасштабной модели ГАПС в хорошем согласии с данными инструментальных измерений в лабораторных и натурных условиях [11].

Цель нашей работы заключалась в верификации обеих моделей атмосферной диффузии примеси в условиях реальной метеорологической ситуации ночного ГАПС (слабый окружающий ветер, устойчивая термическая стратификация атмосферы) на основе численного моделирования распространения пассивной примеси от поверхностного источника, протяженность которого совпадает с протяженностью поверхностного источника тепла [1, 10, 11]. На основе такой верификации может быть сделан вывод о возможности использования алгебраической АС-модели атмосферной диффузии как более простой и эффективнее реализуемой по сравнению с DC-моделью. Следует также отметить, что развитая трехпараметрическая теория турбулентного переноса позволяет использовать реалистические граничные условия на поверхности, учитывающие морфологию урбанизированного слоя препятствий (здания городской застройки и др.). Однако подробные измерения в контролируемом лабораторном эксперименте [11] были выполнены для крупномасштабной циркуляции над городским островом тепла малого относительного удлинения ( $z_i/D \ll 1$ , где  $z_i$  — высота слоя перемешивания;  $D$  — диаметр острова тепла), т.е. без разрешения деталей течения вблизи аэродинамически гладкой поверхности прототипа реального городского острова тепла. Поэтому в настоящем исследовании использовались граничные условия, которые обычно используются для аэродинамически гладкой поверхности.

## 1. Эйлерова модель уравнений переноса турбулентных потоков массы

Для описания атмосферного рассеяния пассивной примеси базовая трехпараметрическая  $E - \varepsilon - \langle \theta^2 \rangle$ -модель турбулентности [1, 10] ( $E = 1/2 \langle u_i u_i \rangle$  — кинетическая энергия турбулентности;  $\varepsilon$  — скорость ее диссипации;  $\langle \theta^2 \rangle$  — дисперсия турбулентных флуктуаций температуры) должна быть дополнена уравнениями для осредненной концентрации  $C(x_i, t)$ , вектора турбулентного потока примеси

$\langle u_i c \rangle$  и корреляции между флуктуациями концентрации и температуры  $\langle c\theta \rangle$ .

Уравнение сохранения массы в тензорных обозначениях имеет вид

$$\frac{DC}{Dt} = - \frac{\partial \langle u_j c \rangle}{\partial x_j} + S_c, \quad (1)$$

где  $S_c$  — источник.

Уравнение переноса для турбулентных потоков концентрации записывается в пренебрежении членами молекулярного переноса и эффектом силы Кориолиса на ковариации:

$$\frac{D \langle u_i c \rangle}{Dt} = P_{ic} + G_{ic} + D_{ic} + \Phi_{ic} - \varepsilon_{ic}, \quad (2)$$

где

$$P_{ic} = - \langle u_i u_j \rangle \frac{\partial C}{\partial x_j} - \langle u_j c \rangle \frac{\partial U_i}{\partial x_j}$$

— генерация турбулентных потоков скаляра;

$$G_{ic} = -\beta g_i \langle c\theta \rangle$$

— генерация плавучестью;

$$D_{ic} = - \frac{\partial}{\partial x_j} (\langle u_i u_j c \rangle + \langle c \frac{p}{\rho} \rangle \delta_{ij}) = \\ = \frac{\partial}{\partial x_k} \left\{ \alpha_{1s} \frac{E}{\varepsilon} \langle u_k u_l \rangle \frac{\partial \langle u_i c \rangle}{\partial x_l} \right\}$$

— турбулентная диффузия;

$$\Phi_{ic} = \langle \frac{p}{\rho} \frac{\partial c}{\partial x_i} \rangle$$

— корреляция «давление—градиент концентрации»;  $\varepsilon_{ic}$  — диссипативный вектор.

Для двух последних статей баланса уравнения (2) используется модель, которая дала хорошие результаты в тестовых испытаниях [12]:

$$\Phi_{ic} - \varepsilon_{ic} = -\alpha_{1c} \frac{\varepsilon}{E} \langle u_i c \rangle + \\ + \alpha_{2c} \langle u_j c \rangle \frac{\partial U_i}{\partial x_j} + \alpha_{3c} g_i \beta \langle c\theta \rangle.$$

Уравнение для вектора турбулентного потока концентрации можно записать в более компактном виде

$$\frac{D \langle u_i c \rangle}{Dt} = - \langle u_i u_j \rangle \frac{\partial C}{\partial x_j} - \langle u_j c \rangle \frac{\partial U_i}{\partial x_j} + \\ + \frac{\partial}{\partial x_k} \left\{ \alpha_{1s} \frac{E}{\varepsilon} \langle u_k u_l \rangle \frac{\partial \langle u_i c \rangle}{\partial x_l} \right\} - \\ - \alpha_{1c} \sqrt{\frac{\varepsilon}{E}} \frac{\varepsilon_c}{\langle c^2 \rangle} \langle u_i c \rangle + \alpha_{2c} \langle u_j c \rangle \frac{\partial U_i}{\partial x_j} + \\ + \alpha_{3c} g_i \beta \langle c\theta \rangle - g_i \beta \langle c\theta \rangle, \quad (3)$$

где  $\varepsilon_c$  — деструкция скалярного поля, а значение параметра отношения временных масштабов

$R = (\langle c^2 \rangle / 2\epsilon_c) / (E/\epsilon)$  в вычислениях принимается равным 0,6.

Уравнение для ковариации  $\langle c\theta \rangle$  имеет вид

$$\frac{D \langle c\theta \rangle}{Dt} = -\langle u_j \theta \rangle \frac{\partial C}{\partial x_j} - \langle u_j c \rangle \frac{\partial \Theta}{\partial x_j} + \\ + \frac{\partial}{\partial x_k} \left\{ \alpha_{2s} \frac{E}{\epsilon} \langle u_k u_l \rangle \frac{\partial \langle c\theta \rangle}{\partial x_l} \right\} - \epsilon_{c\theta}, \quad (4)$$

где  $\epsilon_{c\theta}$  — член молекулярной деструкции параметризуется, следя [13], в виде  $\epsilon_{c\theta} = \alpha_{3c} \frac{\epsilon}{E} \langle c\theta \rangle$ .

В уравнениях (1) – (4)

$$\frac{D}{Dt} \equiv \frac{\partial}{\partial t} + U_j \frac{\partial}{\partial x_j}$$

— материальная производная;  $g_i$  — вектор ускорения силы тяжести;

$$\beta = -(1/\langle \rho \rangle) (\partial \langle \rho \rangle / \partial \Theta)_p$$

— коэффициент термического расширения;  $p$  — давление;  $\rho$  — плотность. Значения констант модели  $\alpha_{1c}$ ,  $\alpha_{2c}$ ,  $\alpha_{3c}$ ,  $\alpha_{1s}$ ,  $\alpha_{2s}$  равны 4,0; 0,4; 0,4; 0,22 и 0,22 соответственно. Средняя температура  $\Theta$  и вектор турбулентного потока тепла  $\langle u_j \theta \rangle$  вычисляются по трехпараметрической модели турбулентного переноса [1]. Уравнения (1), (3) и (4) образуют DC-модель атмосферной диффузии примеси.

## 2. Эйлерова алгебраическая модель для турбулентных потоков массы

Алгебраическая модель для турбулентных потоков концентрации может быть выведена из уравнения переноса (3), если принять предположение о слаборавновесной турбулентности. Это предположение устанавливает, что турбулентность находится, приближенно, в равновесии с наложенными параметрами среднего течения. Если это приближение принимается и для поля скорости, и для поля скаляра (температуры, концентрации), то из (3) следует алгебраическое выражение для вектора турбулентного потока скаляра:

$$-\langle u_i c \rangle = \frac{1}{\alpha_{1c}} \sqrt{\frac{E \langle c^2 \rangle}{\epsilon \epsilon_c}} \times \\ \times \left[ \langle u_i u_j \rangle \frac{\partial C}{\partial x_j} + (1 - \alpha_{2c}) \langle u_j c \rangle \frac{\partial U_i}{\partial x_j} \right] + \\ + \frac{1}{\alpha_{1c}} \sqrt{\frac{E \langle c^2 \rangle}{\epsilon \epsilon_c}} (1 - \alpha_{2c}) g_i \beta \langle c\theta \rangle. \quad (5)$$

Нетрудно видеть, что выражение (5) оказывается неявным для потока —  $\langle u_i c \rangle$ , поскольку в правой части (5) имеется поток  $\langle u_j c \rangle$ . Наиболее простой способ сделать выражение (5) полностью явным заключается в принятии для потоков импульса и скаляра в правой части (5) градиентной гипотезы

Буссинеска, хотя непоследовательность такой процедуры очевидна. Итак, постулируется, что

$$-\langle u_i u_j \rangle = 2v_t S_{ij} - \frac{2}{3} E \delta_{ij}, \quad (6)$$

$$-\langle u_i c \rangle = D_t \frac{\partial C}{\partial x_i}, \quad (7)$$

где  $S_{ij} = (\partial U_i / \partial x_j + \partial U_j / \partial x_i) / 2$  — тензор средних скоростей деформации;  $v_t = c_\mu E^2 / \epsilon$  — турбулентная вязкость;  $D_t = c_\mu \sqrt{2R} (E^2 / \epsilon)$  — коэффициент турбулентной диффузии;  $\delta_{ij}$  — тензор Кронекера. Подстановка (6) и (7) в (5) приводит к следующему полностью явному выражению для вектора турбулентного потока скаляра:

$$-\langle u_i c \rangle = c_\mu (E^2 / \epsilon) \sqrt{2R} (\partial C / \partial x_i) - \alpha_{1c}^{-1} (E / \epsilon) \sqrt{2R} \times \\ \times \left[ \left\{ 2v_t + (1 - \alpha_{2c}) D_t \right\} S_{ij} + (1 - \alpha_{2c}) D_t \Omega_{ij} \right] (\partial C / \partial x_j) + \\ + \left[ (1 - \alpha_{2c}) / \alpha_{1c} \right] (E / \epsilon) \sqrt{2R} g_i \beta \langle c\theta \rangle, \quad (8)$$

где  $\Omega_{ij}$  — средний тензор вращения. Сравнение выражений (5) и (8) показывает, что эффекты плавучести в окончательном выражении (8) имеют точный вид, что в известном смысле оправдывает используемую процедуру явной записи выражения для турбулентных потоков концентрации. Тестовые испытания по калибровке постоянных модели свидетельствуют в пользу следующего выбора их численных значений:  $c_\mu = 0,095$ ,  $\alpha_{2c} = \alpha_{3c} = 0,40$ . Алгебраическая анизотропная модель атмосферной диффузии (AC-модель) включает в себя уравнение (1) для средней концентрации и выражение (8) для турбулентных потоков концентрации.

## 3. Тестовые испытания DC- и AC-моделей турбулентных потоков массы. Границные и начальные условия. Численный метод

Тестовые испытания DC- и DC-моделей проведены для критической метеорологической ситуации, возникающей в ночном ГАПС в условиях слабого окружающего ветра и устойчивой стратификации атмосферы. Такая ситуация типична для формирования над городом турбулентной циркуляции воздуха — явления, называемого городским островом тепла.

В лабораторном эксперименте [11] проникающая турбулентная конвекция индуцируется постоянным потоком тепла, создаваемым поверхностным источником тепла в виде круглой пластины заданного диаметра. Этот источник тепла моделирует прототип городского острова тепла с малым относительным удлинением (вертикальный линейный масштаб много меньше горизонтального масштаба). Уравнения гидродинамики, описывающие циркуляцию над городским островом тепла малого относи-

тельного удлинения, могут быть записаны без учета силы Кориолиса и радиации в цилиндрической системе координат. Кроме того, может быть принято гидростатическое приближение, а эффекты плавучести учтены в приближении Буссинеска [11].

Необходимые метеорологические параметры, такие как средний ветер, температура, турбулентные величины полей скорости и температуры, вычислялись с помощью трехпараметрической модели турбулентного переноса. Распределения этих величин в турбулентном термическом факеле, полученные для цилиндрической геометрии турбулентной циркуляции над городским островом тепла, приведены в [1] и в настоящих тестах они используются в виде «входной информации» для диффузионных вычислений. Уравнения (1), (3), (4) DC-модели и уравнения (1), (4), (8) AC-модели записываются в цилиндрических координатах для искомых средней концентрации  $C(r, z, t)$  и вторых моментов поля концентрации примеси  $\langle u_r c \rangle$ ,  $\langle u_z c \rangle$  и  $\langle c\theta \rangle$  ( $r$  – координата в горизонтальном направлении,  $z$  – координата, направленная вертикально вверх). Уравнения (1), (3), (4) в цилиндрических координатах приведены в Приложении. Выражения для турбулентных потоков тепла  $\langle u_r \theta \rangle$  и  $\langle u_z \theta \rangle$  идентичны по форме (см. [1, 10]) выражениям для турбулентных потоков концентрации  $\langle u_r c \rangle$  и  $\langle u_z c \rangle$  с той лишь разницей, что в члене, описывающем эффекты плавучести на турбулентный перенос концентрации в вертикальном направлении, вместо корреляции  $\langle \theta^2 \rangle$  появляется ковариация  $\langle c\theta \rangle$ . Выражения для потоков концентрации в цилиндрических координатах легко могут быть получены из (8) и здесь они не приводятся.

### 3.1. Границные и начальные условия

Границные условия для уравнения средней концентрации на подстилающей поверхности реализуются в виде поверхностного источника примеси заданной постоянной производительности  $Q$ . Линейный размер источника примеси совпадает с линейным размером нагревателя – пластины заданного диаметра. На источнике задается постоянный вертикальный поток примеси

$$-D_t(\partial C / \partial z) = H_c, \quad (9)$$

где  $H_c = Q/(0,5r/D)$ . Величина  $Q$  задавалась из условия, чтобы число Рейнольдса  $Re = Q/v$  обеспечивало поступление примеси из источника без начального импульса и, таким образом, лимитировалось скоростью натекающего на источник внешнего потока.

В начальный момент времени окружающая среда находится в покое, начальные поля концентрации  $C$ , корреляции  $\langle c\theta \rangle$  и потоков концентрации  $\langle u_r c \rangle$ ,  $\langle u_z c \rangle$  равны нулю. На нижней границе области интегрирования, имеющей форму цилиндра, граничные условия при  $z = 0$  следующие:

$$E = \langle \theta^2 \rangle = \frac{\partial \varepsilon}{\partial z} = \frac{\partial C}{\partial z} = \frac{\partial \langle c\theta \rangle}{\partial z} = 0,$$

$$- \langle u_z c \rangle = H_c, \quad - \langle u_r c \rangle = 0; \quad (10)$$

на верхней при границе  $z = Z$ :

$$\frac{\partial C}{\partial z} = \frac{\partial \langle c\theta \rangle}{\partial z} = \frac{\partial \langle u_r c \rangle}{\partial z} = \frac{\partial \langle u_z c \rangle}{\partial z} = 0.$$

При  $r = 0$  накладываются условия симметрии. Такие же условия использованы и на внешней границе области интегрирования (при  $1,8r/D$ ). Остальные граничные условия для полей скорости и температуры имеют тот же вид, что и в [1].

### 3.2. Численный метод

Системы уравнений диффузионных DC- и AC-моделей численно решались с использованием полунеяевой схемы (вторая схема с разностями против потока [14], сохраняющая при определенных ограничениях второй порядок аппроксимации) и метода переменных направлений на смещенной разностной сетке. Разностные уравнения решались методом прогонки. Для сохранения свойств консервативности и транспортной разностной схемы уравнения записывались в разностном виде в приграничных узлах сетки со вторым порядком и использованием соответствующих граничных условий.

## 4. Численные результаты тестовых испытаний DC- и AC-моделей: дисперсия пассивной примеси в ГАПС

Результаты моделирования структуры турбулентной циркуляции над городским островом тепла (различных величин турбулентных полей скорости и температуры) получены ранее, их можно найти в [1, 10].

Моделирование распространения пассивной примеси от протяженного поверхностного источника над городским островом тепла преследовало цель верификации численных результатов, получаемых с помощью DC- и AC-моделей. Следует при этом отметить, что поскольку нет данных измерений по рассеянию примеси от поверхностного источника над городским островом тепла в рассматриваемый критический метеорологический период, поскольку нет возможности подвергнуть результаты численной реализации диффузионных моделей прямой количественной проверке путем сопоставления с данными измерений. О степени их достоверности можно судить по косвенным признакам. Во-первых, аналогичная, по своей сути, модель переноса активной примеси (тепла) дает результаты [1], вполне удовлетворительно согласующиеся с данными прямых инструментальных измерений [11]. Во-вторых, точность численного решения проверена на последовательно измельченных сетках  $25 \times 116$  узлов по горизонтали и вертикали и сетке  $50 \times 232$  узла.

Результаты численного моделирования представлены на рис. 1–3, где  $z_i$  – высота слоя перемешивания,  $D$  – диаметр нагреваемой пластины (линейный размер городского острова тепла).

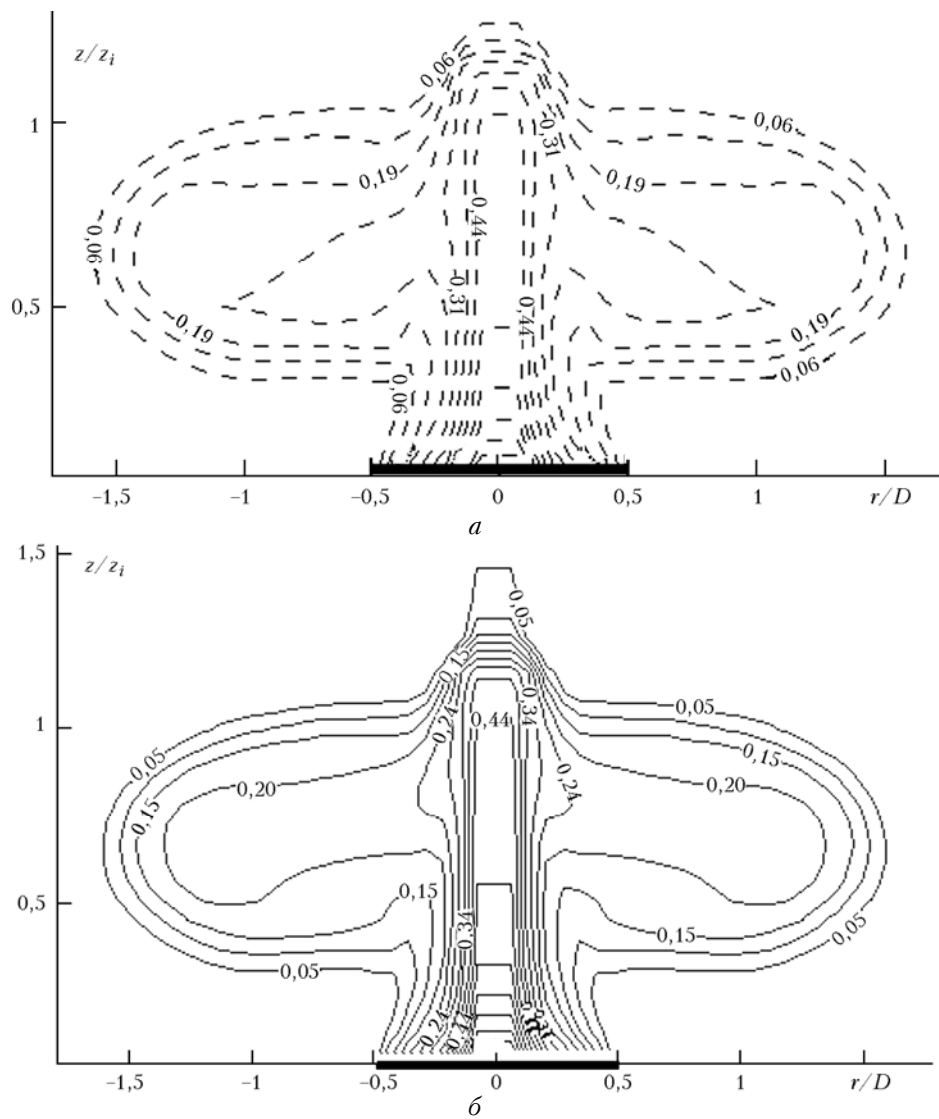


Рис. 1. Контуры поля средней концентрации пассивной примеси над городским островом тепла:  
а – вычисленные по АС-модели; б – по DC-модели

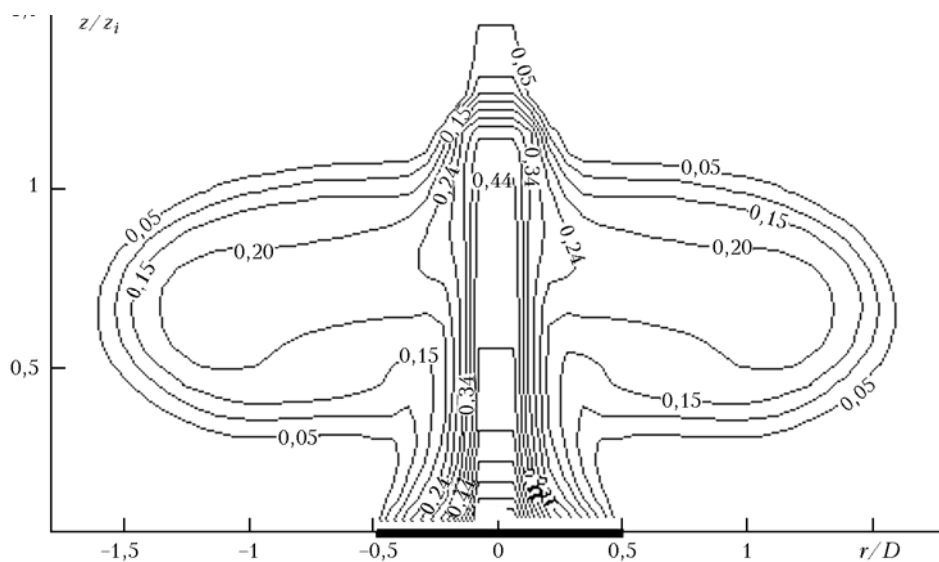


Рис. 2. Контуры полей средней концентрации примеси, вычисленные по DC- и АС-моделям  
(результат совмещения рис. 1, а и 1, б)

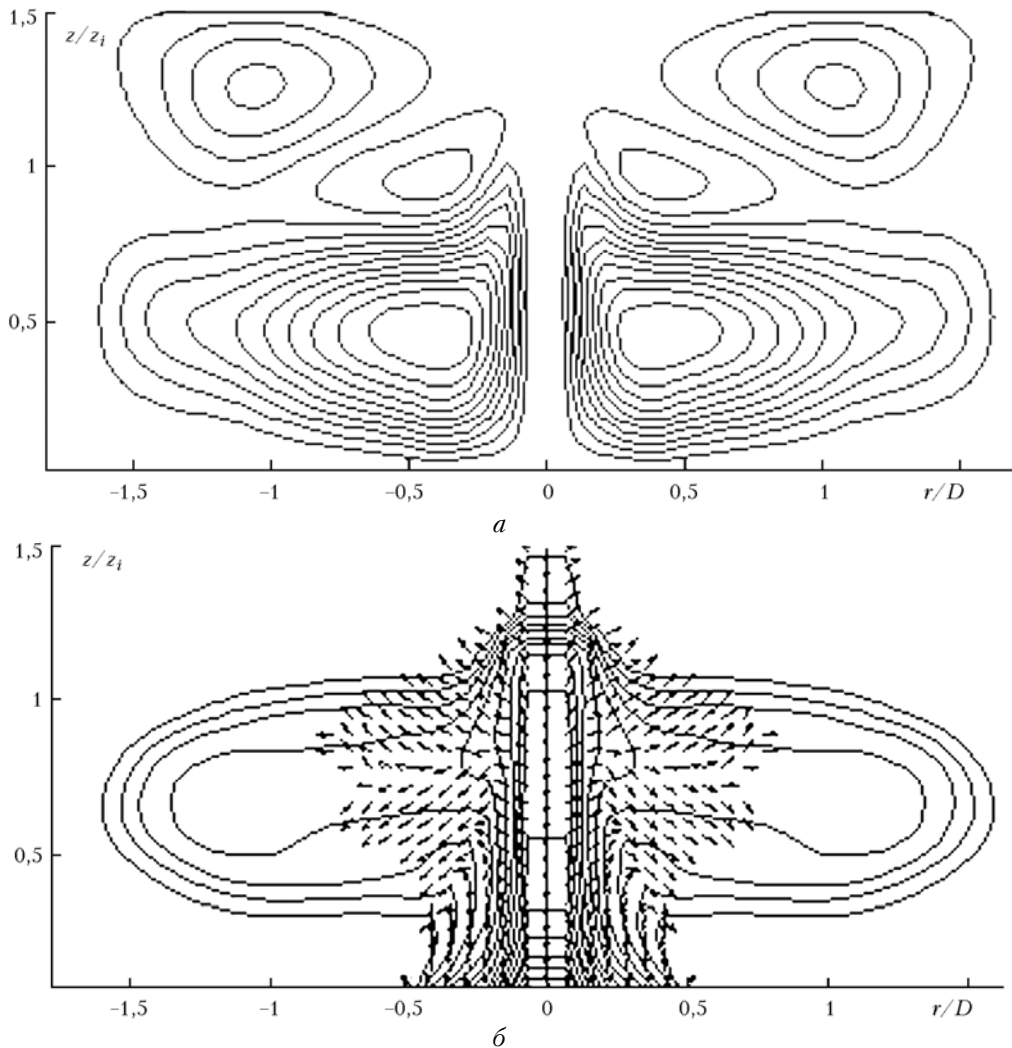


Рис. 3. Контуры линий тока (а) и показанное стрелками векторное поле турбулентных потоков концентрации примеси, вертикального  $\langle u_z c \rangle$  и горизонтального  $\langle u_x c \rangle$ , с нанесенными контурами средней концентрации (б) (результат наложения рис. 1, б)

На рис. 1 показаны нормализованные на максимальное значение контуры средней концентрации пассивной примеси, вычисленные по АС- и DC-моделям соответственно. Можно отметить один общий для этих рисунков эффект дисперсии в условиях устойчивой стратификации окружающей среды: проникновение примеси за пределы пограничного слоя ( $z/z_i > 1$ ) – эффект, зафиксированный в недавних измерениях при вертикальном подъеме плавучих факелов в конвективном пограничном слое [15]. Можно также отметить несколько более гладкий характер контуров равной концентрации на рис. 1, а по сравнению с рис. 1, б. В целом распределения весьма схожи, что можно видеть на рис. 2, где контуры концентраций рис. 1, а и рис. 1, б показаны совмещенными. Максимальное различие в величине средней концентрации вблизи источника не превышает 10%, что подтверждает обоснованность использования более простой в реализации алгебраической модели для турбулентных потоков (АС-модели) в практике атмосферных дисперсионных вычислений. Это – обнадеживающий вывод для

разработки мезомасштабной модели городского пограничного слоя с разрешением детальной морфологии подстилающей поверхности городской черты, поскольку АС-диффузия модель по сравнению с моделью уравнений переноса для турбулентных потоков скаляра (DC-моделью) не требует дополнительной входной информации, которая часто отсутствует. На рис. 3, а изображены контуры линий тока, показывающие формирование двух, врачающихся в разные стороны, крупномасштабных образований с концентрированной завихренностью, простирающихся от подстилающей поверхности вплоть до инверсионного слоя ( $z/z_i \sim 1$ ). Эти вихри создают в центре острова тепла интенсивное восходящее движение, уносящее примесь вверх от источника с распространением ее в перемешанный слой и далее в слой инверсии, с диффузией примеси в горизонтальном направлении в пределах инверсионного слоя. Векторное поле вертикального  $\langle u_z c \rangle$  и горизонтального  $\langle u_x c \rangle$  потоков концентрации, вычисленное по DC-модели (см. уравнения (П.1)–(П.4) в Приложении) и показанное на рис. 3, б вместе

с контурами средней концентрации, свидетельствует в пользу изложенной выше схемы дисперсии пассивной примеси в устойчиво стратифицированной атмосфере над городским островом тепла при слабом окружающем ветре (для наглядности векторное поле показано стрелками одинаковой длины).

## ПРИЛОЖЕНИЕ

В настоящем приложении приведена полная система уравнений DC-модели атмосферной диффузии в цилиндрических координатах, безразмерный вид которой получен при использовании тех же параметров, что и при записи трехпараметрической модели [1]. В соответствующих уравнениях переноса для турбулентных потоков пренебрегалось членами молекулярного переноса и эффектом силы Кориолиса на ковариации.

Уравнение переноса для средней концентрации примеси

$$\begin{aligned} \frac{\partial C}{\partial t} + \frac{1}{r} \frac{\partial}{\partial r} [r C U_r] + \frac{\partial}{\partial z} [C U_z] = \\ = \frac{1}{r} \frac{\partial}{\partial r} r (- \langle u_r c \rangle) + \frac{\partial}{\partial z} (- \langle u_z c \rangle). \end{aligned} \quad (\text{П.1})$$

Уравнение переноса для радиального (горизонтального) турбулентного потока концентрации

$$\frac{\partial \langle u_r c \rangle}{\partial t} + \frac{1}{r} \frac{\partial}{\partial r} [r \langle u_r c \rangle U_r] + \frac{\partial}{\partial z} [\langle u_r c \rangle U_z] =$$

↓  
адвекция

$$= \frac{1}{r} \frac{\partial}{\partial r} \left[ r \alpha_{1s} \frac{E}{\varepsilon} \langle u_r^2 \rangle \frac{\partial}{\partial r} \langle u_r c \rangle \right] + \\ + \frac{1}{r} \frac{\partial}{\partial r} \left[ r \alpha_{1s} \frac{E}{\varepsilon} \langle u_r u_z \rangle \text{Fr}^{-1} \frac{\partial}{\partial z} \langle u_r c \rangle \right] +$$

↓  
горизонтальная диффузия

$$+ \text{Fr}^{-1} \frac{\partial}{\partial z} \left[ \alpha_{1s} \frac{E}{\varepsilon} \left\{ \langle u_r u_z \rangle \frac{\partial}{\partial r} \langle u_r c \rangle + \right. \right. \\ \left. \left. + \text{Fr}^{-1} \langle u_z^2 \rangle \frac{\partial}{\partial z} \langle u_r c \rangle \right\} \right] -$$

↓  
вертикальная диффузия

$$- \left\{ \langle u_r^2 \rangle \frac{\partial C}{\partial r} + \langle u_z u_r \rangle \text{Fr}^{-1} \frac{\partial C}{\partial z} + \right. \\ \left. + \langle u_r c \rangle \frac{\partial U_r}{\partial r} + \text{Fr}^{-1} \langle u_z c \rangle \frac{\partial U_r}{\partial z} \right\} -$$

↓  
генерация

$$- \alpha_{1c} \frac{\varepsilon}{E} \langle u_r c \rangle + \alpha_{2c} \left( \langle u_r c \rangle \frac{\partial U_r}{\partial r} + \langle u_z c \rangle \frac{\partial U_r}{\partial z} \right) \quad (\text{П.2})$$

↓  
корреляция «давление—градиент концентрации».

Уравнение для вертикального турбулентного потока концентрации

$$\frac{\partial \langle u_z c \rangle}{\partial t} + \frac{1}{r} \frac{\partial}{\partial r} [r \langle u_z c \rangle U_r] + \frac{\partial}{\partial z} [\langle u_z c \rangle U_z] =$$

↓  
адвекция

$$= \frac{1}{r} \frac{\partial}{\partial r} \left[ r \alpha_{1s} \frac{E}{\varepsilon} \langle u_r^2 \rangle \frac{\partial}{\partial r} \langle u_z c \rangle \right] + \\ + \frac{1}{r} \frac{\partial}{\partial r} \left[ r \alpha_{1s} \frac{E}{\varepsilon} \langle u_r u_z \rangle \text{Fr}^{-1} \frac{\partial}{\partial z} \langle u_z c \rangle \right] +$$

↓  
горизонтальная диффузия

$$+ \text{Fr}^{-1} \frac{\partial}{\partial z} \left[ \alpha_{1s} \frac{E}{\varepsilon} \left\{ \langle u_r u_z \rangle \frac{\partial}{\partial r} \langle u_z c \rangle + \right. \right. \\ \left. \left. + \text{Fr}^{-2} \langle u_z^2 \rangle \frac{\partial}{\partial z} \langle u_z c \rangle \right\} \right] -$$

↓  
вертикальная диффузия

$$- \left\{ \langle u_z u_r \rangle \frac{\partial C}{\partial r} + \langle u_z^2 \rangle \text{Fr}^{-1} \frac{\partial C}{\partial z} + \right. \\ \left. + \text{Fr} \langle u_r c \rangle \frac{\partial U_z}{\partial r} + \langle u_z c \rangle \frac{\partial U_z}{\partial z} \right\} +$$

↓  
генерация

$$+ (1 - \alpha_{3c}) \text{Fr}^{-1} \langle c \theta \rangle - \alpha_{1c} \frac{\varepsilon}{E} \langle u_z c \rangle + \\ + \alpha_{2c} \left( \langle u_z c \rangle \frac{\partial U_z}{\partial z} + \langle u_r c \rangle \frac{\partial U_z}{\partial r} \right) \quad (\text{П.3})$$

плавучесть+корреляция «давление—градиент концентрации».

Уравнение для ковариации  $\langle c \theta \rangle$

$$\frac{\partial \langle c \theta \rangle}{\partial t} + \frac{1}{r} \frac{\partial}{\partial r} [r \langle c \theta \rangle U_r] + \frac{\partial}{\partial z} [\langle c \theta \rangle U_z] =$$

↓  
адвекция

$$= \frac{1}{r} \frac{\partial}{\partial r} \left[ r \alpha_{2s} \frac{E}{\varepsilon} \langle u_r^2 \rangle \frac{\partial}{\partial r} \langle c \theta \rangle \right] +$$

$$+ \frac{1}{r} \frac{\partial}{\partial r} \left[ r \alpha_{1s} \frac{E}{\varepsilon} \langle u_r u_z \rangle \text{Fr}^{-1} \frac{\partial}{\partial z} \langle c \theta \rangle \right] +$$

↓  
горизонтальная диффузия

$$+ \text{Fr}^{-1} \frac{\partial}{\partial z} \left[ \alpha_{2s} \frac{E}{\varepsilon} \left\{ \langle u_r u_z \rangle \frac{\partial}{\partial r} \langle c \theta \rangle + \text{Fr}^{-2} \langle u_z^2 \rangle \frac{\partial}{\partial z} \langle c \theta \rangle \right\} \right] -$$

↓

вертикальная диффузия

$$-\{ \langle u_r \theta \rangle \frac{\partial C}{\partial r} + \langle u_z \theta \rangle \text{Fr}^{-1} \frac{\partial C}{\partial z} + \langle u_r c \rangle \frac{\partial \Theta}{\partial r} + \\ + \text{Fr}^{-1} \langle u_z c \rangle \frac{\partial \Theta}{\partial z} \} -$$

↓

генерация

$$-\alpha_{3c} \frac{\varepsilon}{E} < c \theta > \quad (\Pi.4)$$

↓

молекулярная деструкция.

В уравнениях (П.1) – (П.4) использованы обозначения:  $\langle u_z c \rangle$ ,  $\langle u_r c \rangle$  – вертикальный и горизонтальный турбулентные потоки концентрации соответственно;  $U_r$  и  $U_z$  – горизонтальная и вертикальная средние скорости соответственно;  $E = \langle u_i^2 \rangle / 2$  – кинетическая энергия турбулентности (КЭТ);  $\varepsilon$  – скорость ее диссипации;  $\langle u_r^2 \rangle$ ,  $\langle u_z^2 \rangle$  – горизонтальная и вертикальная составляющие КЭТ соответственно;  $\langle u_z \theta \rangle$ ,  $\langle u_r \theta \rangle$  – вертикальный и горизонтальный турбулентные потоки тепла;  $\Theta$  – средняя температура;  $\text{Fr} = w_D / ND$  число Фруда ( $D$  – горизонтальный размер острова тепла;  $w_D$  – турбулентный конвективный масштаб скорости;  $N = (g \beta \partial \Theta / \partial z)^{1/2}$  – частота Брента–Вайсяля). Численные значения констант модели  $\alpha_{1c}$ ,  $\alpha_{2c}$ ,  $\alpha_{3c}$ ,  $\alpha_{1s}$  и  $\alpha_{2s}$  приведены в основном тексте статьи.

Работа выполнена при финансовой поддержке Российского фонда фундаментальных исследований (гранты № 03-05-64005, 04-05-64562) и Президиума СО РАН (Интеграционный проект № 130).

1. Курбаский А.Ф., Курбаская Л.И. Проникающая турбулентная конвекция над островом тепла в устойчиво стратифицированной окружающей среде // Изв. РАН. Физ. атмосф. и океана. 2001. Т. 37. № 2. С. 1–13.
2. Andren A. A combined first-order closure/Gaussian dispersion model // Atmos. Environ. 1987. V. 21. P. 1045–1058.

#### *A.F. Kurbatskii, L.I. Kurbatskaya. Numerical investigation of urban heat island: verification of Eulerian atmospheric diffusion models.*

The Eulerian models of dispersion of air pollution are formulated: a high-order closure dispersion model in which the concentration fluxes  $\langle u_i c \rangle$  are calculated from the transport equations (D-model) and an algebraic model of turbulent fluxes  $\langle u_i c \rangle$  (AC-model) obtained by simplification of DC-model to the algebraic expressions in the weak-equilibrium approximation. Both models use mean wind and turbulence quantities from a second-order closure model of the atmospheric boundary layer (the three-parametrical  $E-\varepsilon-\langle \theta^2 \rangle$  turbulence model). The basic characteristics of the thermohydrodynamics fields of a turbulent thermal plume above an urban heat island are reproduced by the  $E-\varepsilon-\langle \theta^2 \rangle$  model with quite good agreement with the experimental data and natural measurements of turbulence intensity. Results from dispersion of a passive contaminant from the surface source obtained with the help of DC and AC models show that the maximum difference of concentration level near a source does not exceed ten percents. Besides, it is shown that diffusion terms of DC-models excluded at obtaining of A-model, act to smooth out the gradients of the fluxes. The verification indicates the validity of using the algebraic AC-model in practice of simulation of atmospheric contaminant dispersion.

3. Enger L. Simulation of dispersion in moderately complex terrain. Part C: A dispersion model for operational use // Atmos. Environ. 1990. V. 24. P. 2457–2471.
4. Lamb R.G. Diffusion in the convective boundary layer // Atmospheric turbulence and air pollution modeling / Eds. F.T.M. Nieuwstadt and H.D. van Doop. Reidel, Dordrecht, the Netherlands. 1982. P. 159–229.
5. Uliasz M. Lagrangian particle dispersion modeling in mesoscale applications // Environmental modeling II / Ed. P. Zannetti. Computational Mechanics Publications, Southampton, UK. 1994. P. 71–102.
6. Van Haren L., Nieuwstadt F.T.M. The behavior of passive and buoyant plumes in a convective boundary layer, as simulated with a large-eddy model // J. Appl. Meteorol. 1989. V. 28. P. 818–832.
7. Sykes R.I. and Henn D.S. Large-eddy simulation of concentration fluctuations in a dispersing plume // Atmos. Environ. 1992. V. 26A. P. 3127–3144.
8. Nieuwstadt F.T.M., Mason P.J., and Schumann U. Large Eddy Simulation of the Convective Boundary Layer: A comparison of Four Computer Codes // Turbulent Shear Flows (F. Durst et al. Eds.). Springer-Verlag, 1993. P. 353–367.
9. Abiodun B.J., Enger L. The role of advection of fluxes in modelling dispersion in convective boundary layers // Quart. J. Roy. Meteorol. Soc. 2002. V. 128. P. 1589–1607.
10. Kurbatskii A. F. Computational modeling of the turbulent penetrative convection above the urban heat island in stably stratified environment // J. Appl. Meteorol. 2001. V. 40. N 10. P. 1748–1761.
11. Lu J., Araya S.P., Snyder W.H., Lawson R.E., Jr. A Laboratory Study of the Urban Heat Island in a Calm and Stably Stratified Environment. Part I: Temperature Field; Part II: Velocity Field // J. Appl. Meteorol. 1997. V. 36. N 10. P. 1377–1402.
12. Sommer T. P. and So R.M.C. On the modeling of homogeneous turbulence in a stably stratified flow // Phys. Fluids. 1995. V. 7. P. 2766–2777.
13. Lumley J. L. Prediction methods for turbulent flows. Von Karman Institute for Fluids Mechanics, Rhode-St-Genese, Belgium. 1975. P. 34.
14. Рогч П. Вычислительная гидродинамика. М.: Мир, 1980. 616 с.
15. Snyder W.H., Lawson R.E., Jr., Shipman M.S., Lu J. Fluid modeling of atmospheric in the convective boundary layer // Boundary Layer Meteorol. 2002. V. 102. N 3. P. 335–366.